Intérêt des techniques de nano- et micro-indentation

pour l'étude du fluage des matériaux cimentaires

M. Vandamme

Laboratoire Navier (ENPC, IFSTTAR, CNRS) Ecole Nationale des Ponts et Chaussées

Plan

- Principe de l'indentation
- Intérêt 1: Fournir des données d'entrée pour les modèles multiéchelles

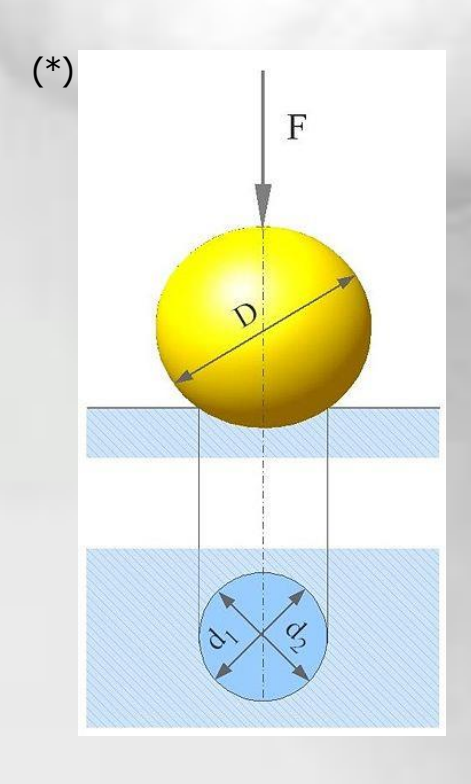
Utilisation de la nanoindentation pour des matériaux hétérogènes

 Intérêt 2: Caractériser rapidement la cinétique de fluage long-terme

> Etude comparative de mesure du fluage par microindentation et par expériences macroscopiques classiques

Un vieux principe...

Un test mécanique de surface inventé par Brinell en 1901



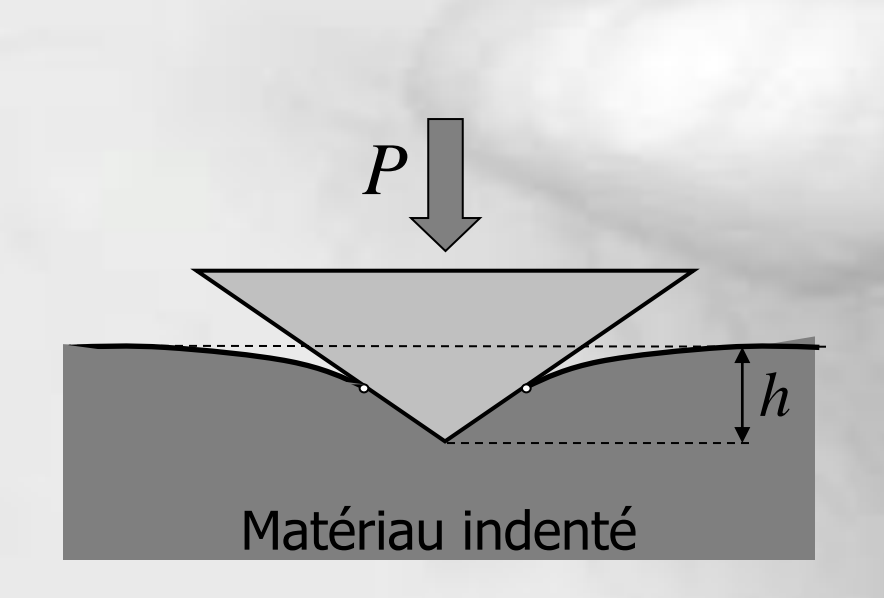
Dureté Brinell

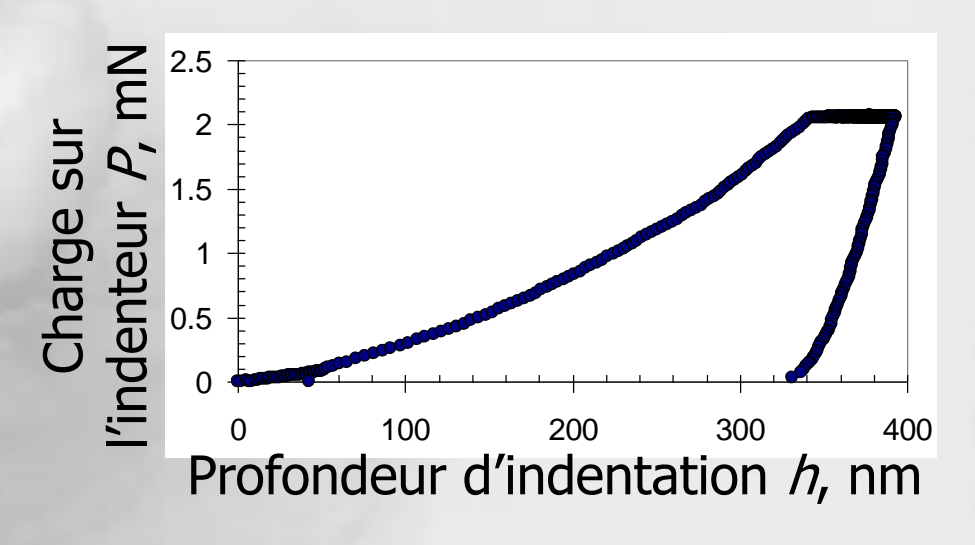
$$BHN = \frac{\text{Charge}}{\text{Empreinte courbe}}$$

• Un paramètre expérimental pour comparer des matériaux

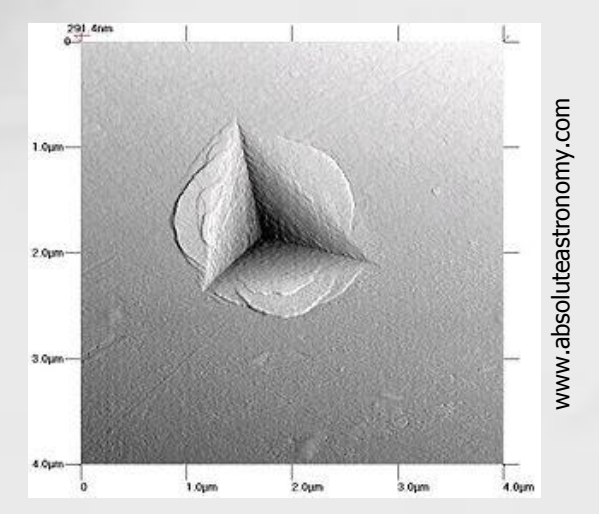
(*) Wikipedia

... mais grandement amélioré



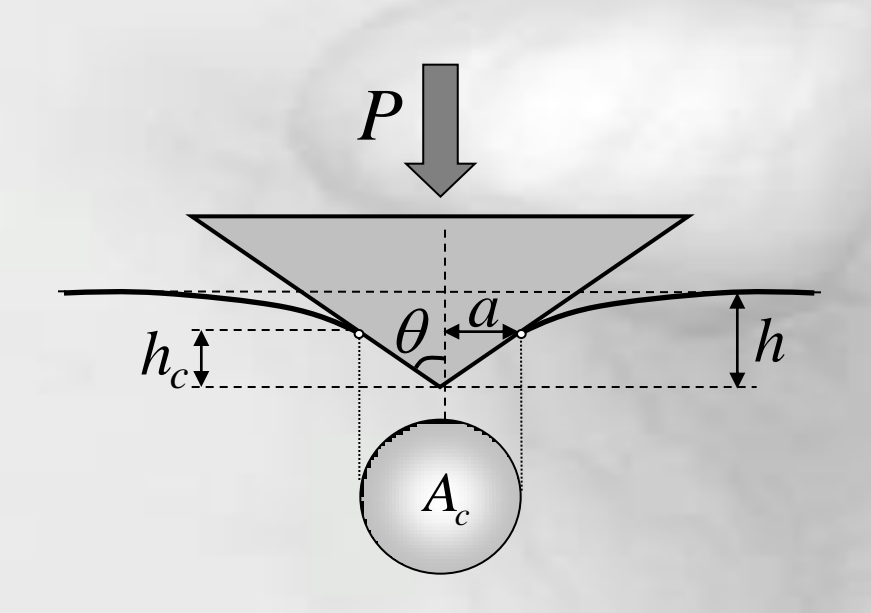


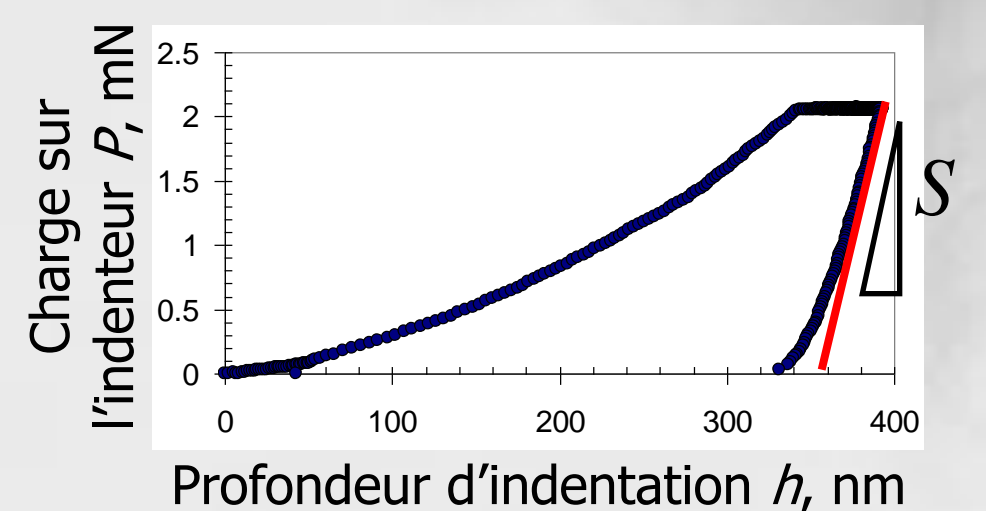
Nanoindentation:
Profondeur typique ~ 100 nm
Charge typique ~ 1 mN



Macro: P > 2N Micro: P < 2N & h > 200nm Nano: h < 200nm

Paramètres classiquement obtenus





Module d'indentation (propriété élastique)

$$M = \frac{\sqrt{\pi}}{2} \frac{S}{\sqrt{A_c}} = \frac{E}{1 - v^2}$$

Dureté d'indentation ("cliché" des propriétés de résistance)

$$H = \frac{P}{A_c} = cf\left(v, \frac{c}{M}, \varphi, \theta\right)$$

A quoi ressemble un indenteur

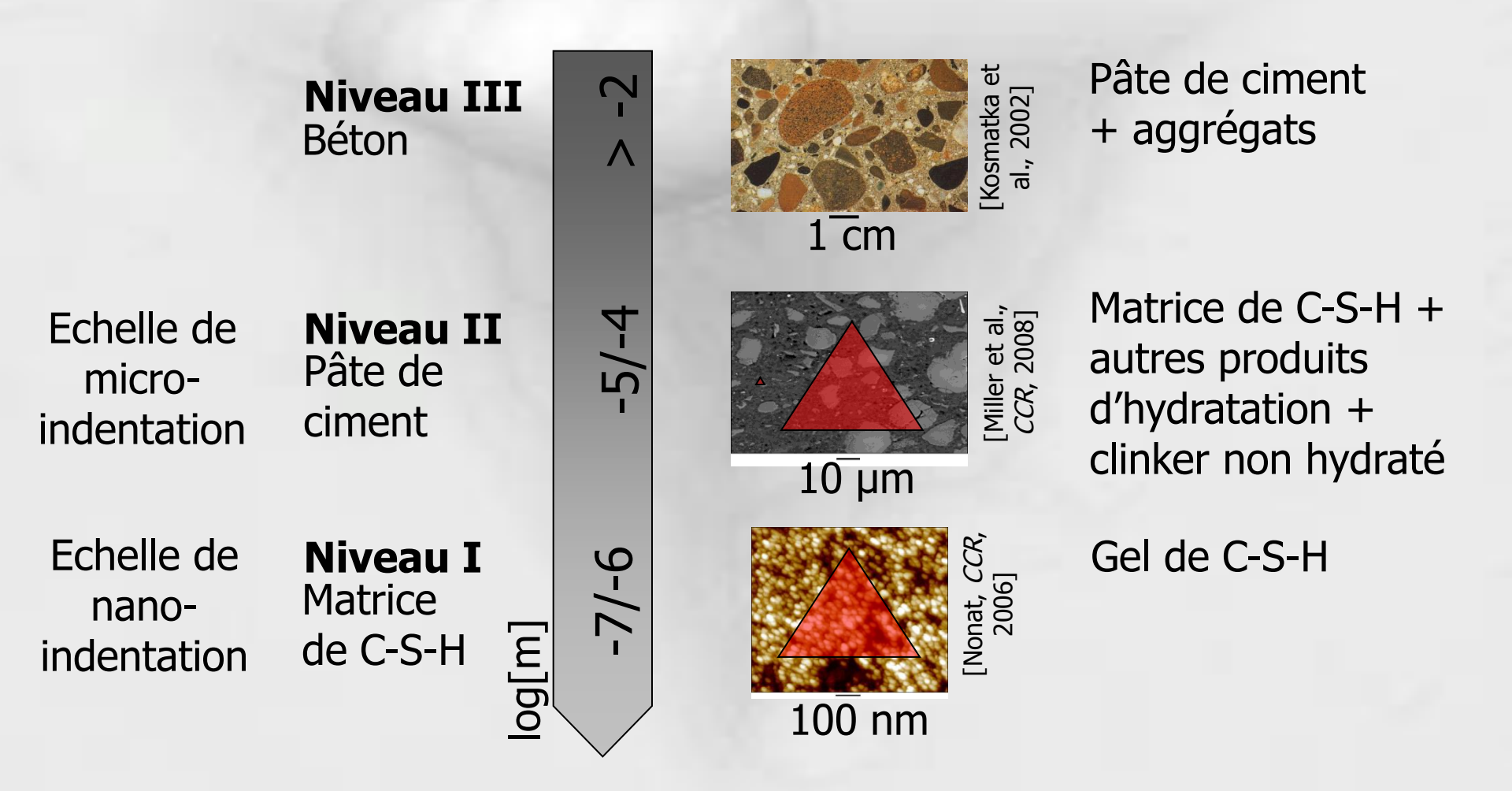


Anton-Paar

Hysitron



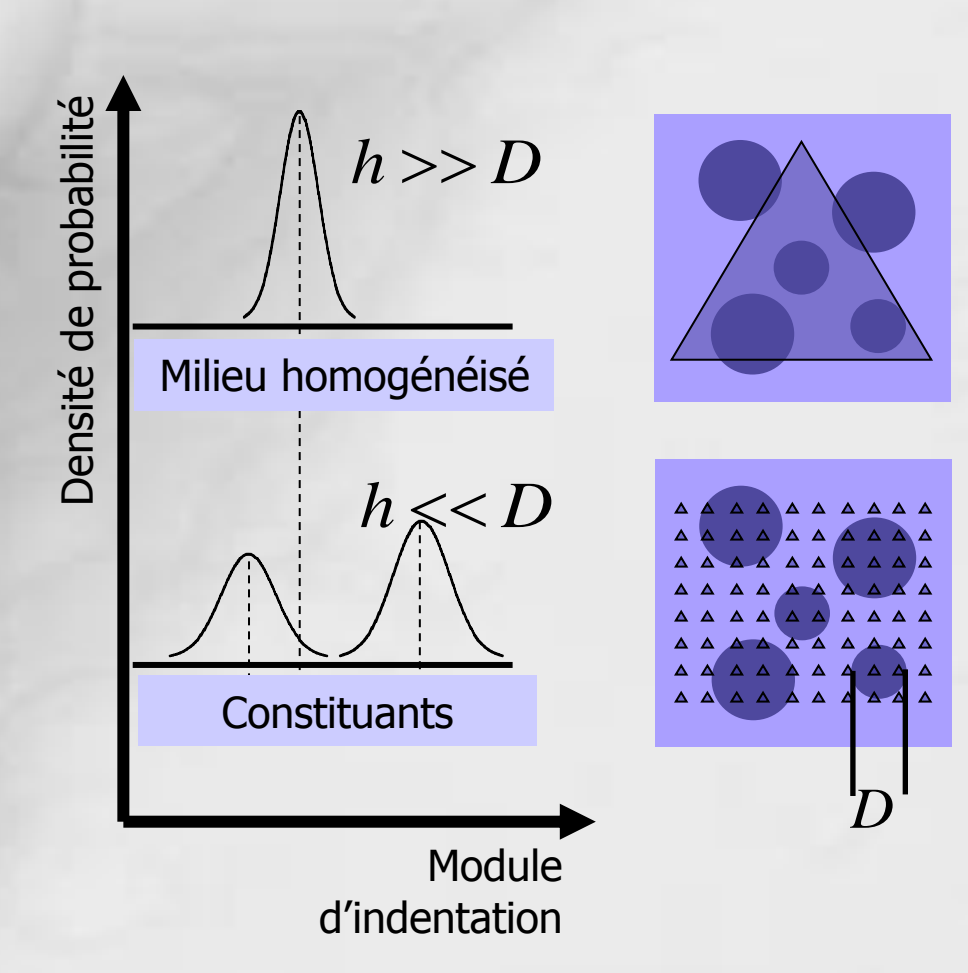
Structure multiéchelle du béton



Utilisation sur matériaux hétérogènes

« Technique de grille d'indentation »(*),(**)

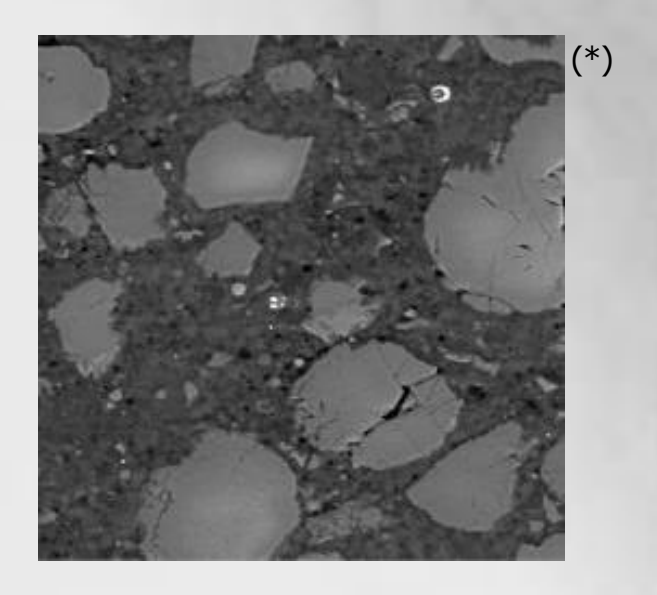
- Le processus de déconvolution donne:
 - Les propriétés mécaniques moyennes (M, H,...) de chaque phase
 - La fraction volumique de chaque phase

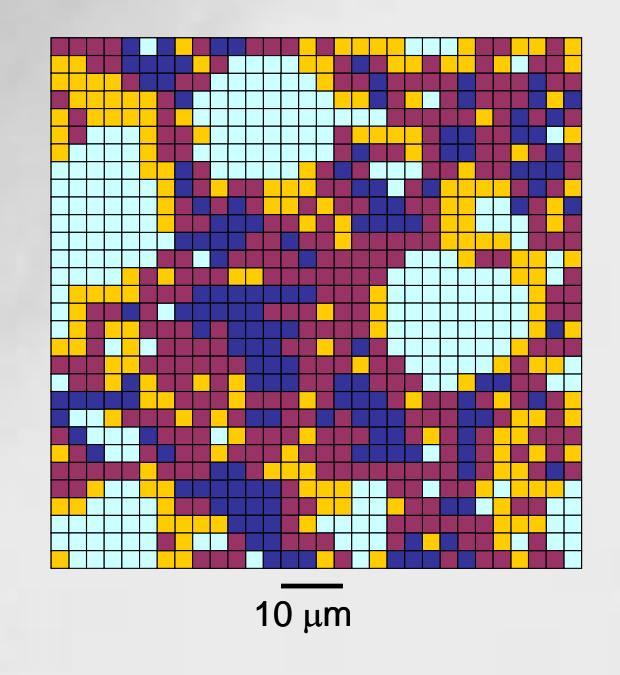


(*) Constantinides G. et al. (2006) *Mat. Sc. Eng. A* **430**: 189-202 (**) Randall N., Vandamme M. and Ulm F.-J. (2009) *J. Mat. Res.* **24**(3): 679-690

Cartographie de surface

 La technique de grille d'indentation peut fournir une carte des propriétés mécaniques d'une surface



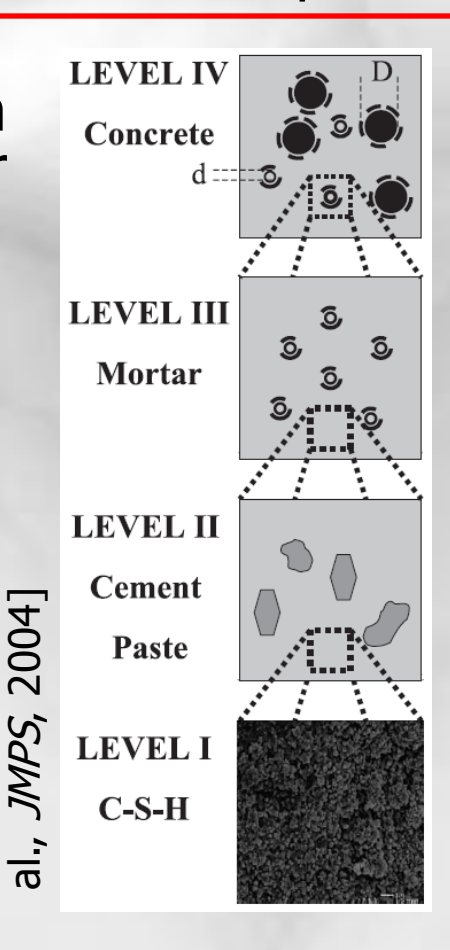


(*) Miller M., Bobko C., Vandamme M, Ulm F.-J. (2008) Cem. Conc. Res. **38**: 467-476

Intérêt 1

Fournir des données d'entrée pour les modèles multiéchelles

 La nanoindentation permet de mesurer « in-vivo » les propriétés mécaniques des phases constituant les matériaux cimentaires



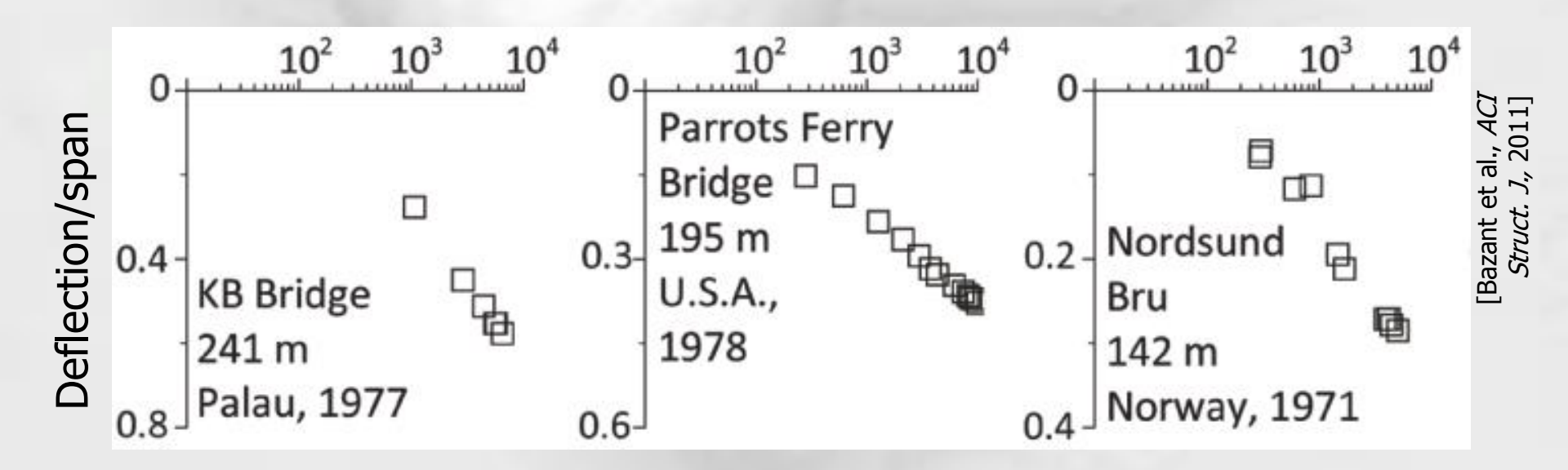
Constantinides et

Intrinsic elastic properties of cement paste constituents						
Constituent	E (GPa)	Poissons ratio <i>v</i>	Method	Reference		
СН	35.24		Е	Beaudoin [54]		
	48		E	Wittmann [55]		
	39.77 < E	0.305 < v	В	Monteiro and		
	<44.22	< 0.325		Chang [56]		
	36 ± 3		I	Acker [41]		
	38 ± 5		I	**		
Clinker						
C_3S	135 ± 7	0.3	I	Acker [41]		
	147 ± 5	0.3	E	Velez et al. [57]		
C_2S	140 ± 10	0.3	I	Acker [41]		
	130 ± 20	0.3	E	Velez et al. [57]		
C_3A	160 ± 10		I	Acker [41]		
	145 ± 10		E	Velez et al. [57]		
C ₄ AF	125 ± 25		E	Velez et al. [57]		
Alite	125 ± 7		I	Velez et al. [57]		
Belite	127 ± 10		I	Velez et al. [57]		
C-S-H*	34 (includes		E	Beaudoin and		
	both types)			Feldman [42]		
α	20 ± 2		I	Acker [41]		
	21.7 ± 2.2		I	**		
β	31 ± 4		I	Acker [41]		
	29.4 ± 2.4		I	**		
C-S-H (Leached)						
α	3.0 ± 0.8			**		
β	12.0 ± 1.2	41		**		

- Limitations:
 - L'indentation ne donne qu'une partie de l'information mécanique nécessaire, pas toute la loi de comportement élastoplastique

Le fluage long-terme du béton

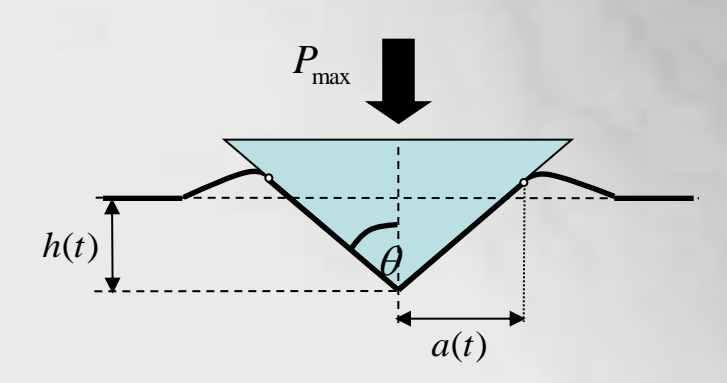
• Le béton flue, et ce fluage ne s'arrête jamais



 Aux temps longs, le fluage est linéaire par rapport au logarithme du temps

Propriétés dépendantes du temps

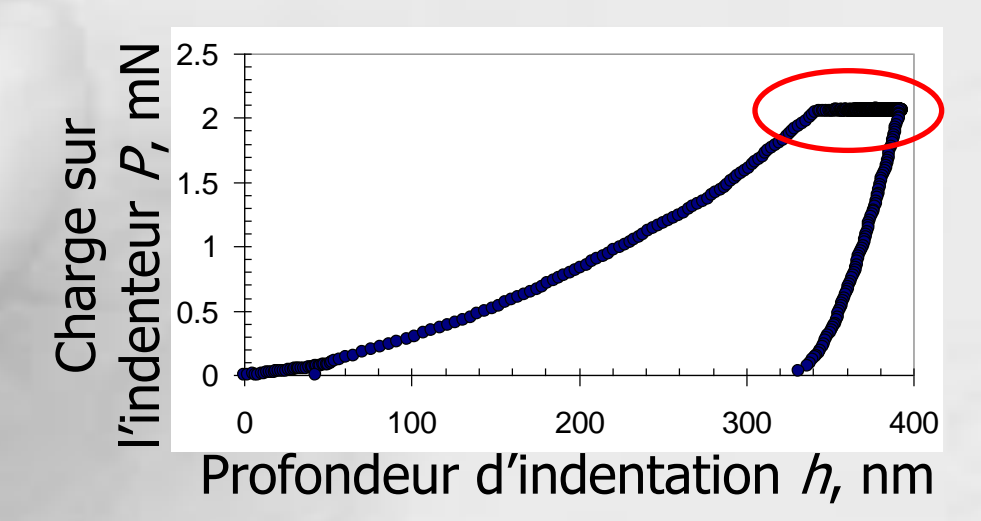
 Un test de fluage par indentation fournit une complaisance de fluage de contact L(t)



 Pour un matériau plastique linéaire viscoélastique:

Purely linear viscoelastic solution

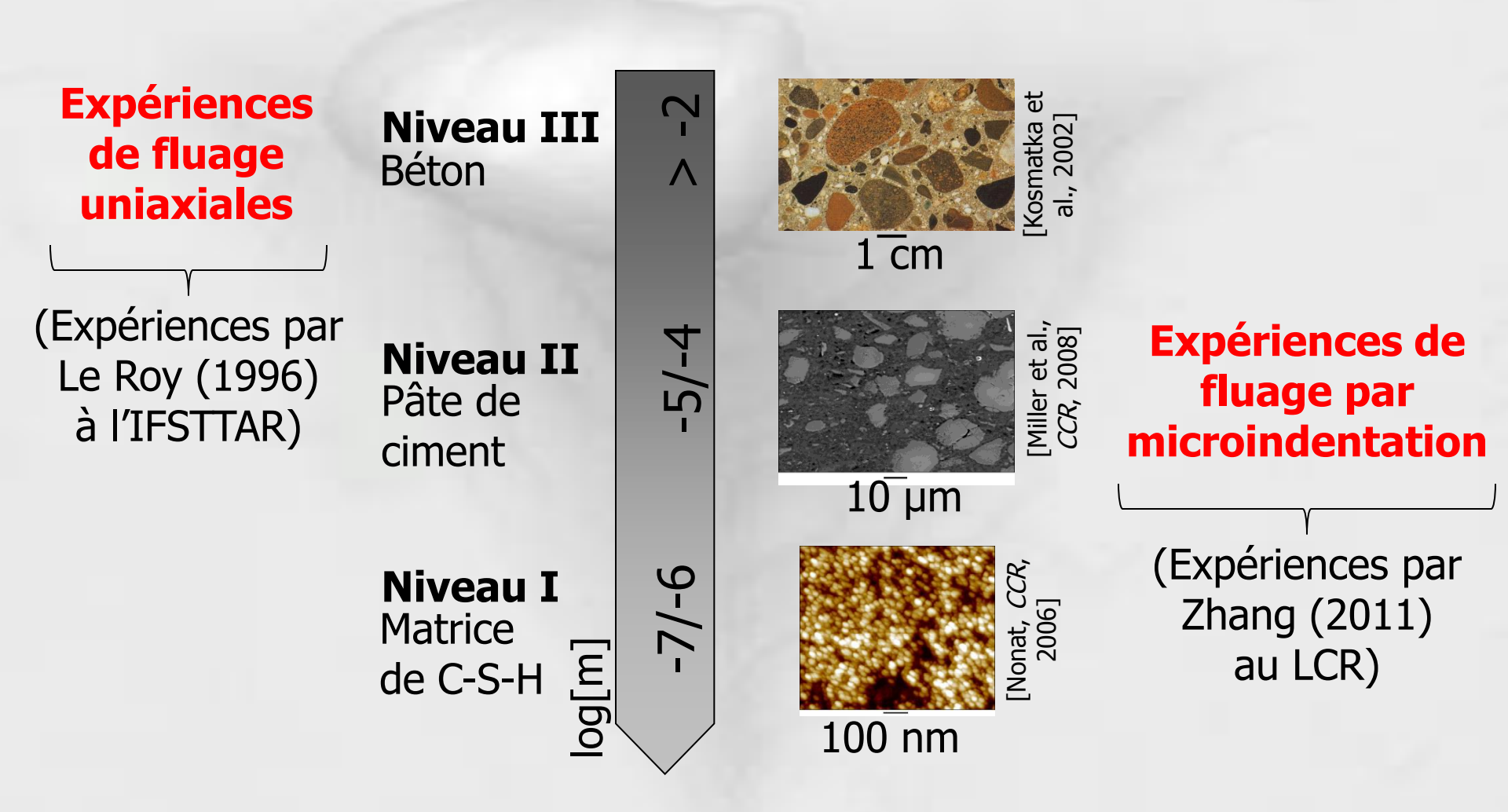
$$L(t) = \frac{2 \tan \theta}{\pi P_{\text{max}}} h^2(t)$$



$$\frac{dL}{dt} = \frac{2a(t)h(t)}{P_{\text{max}}} \stackrel{\text{def}}{=} \frac{2a(t)h(t)}{P_{\text{max}}}$$

$$L(t) - \frac{1}{M_0} \approx \frac{2a_u \Delta h(t)}{P_{\text{max}}}$$

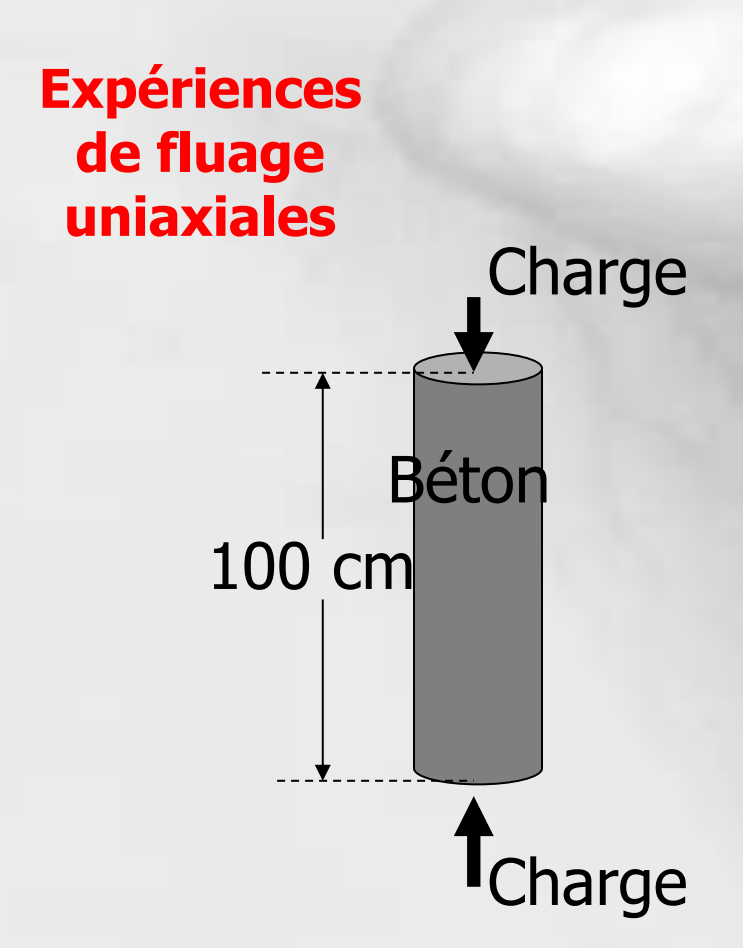
Etude comparative(*)



(*) [Zhang Q., Le Roy R., Vandamme M. and Zuber B. (2014). *Cem. Conc. Res.* 58: 89-98.]

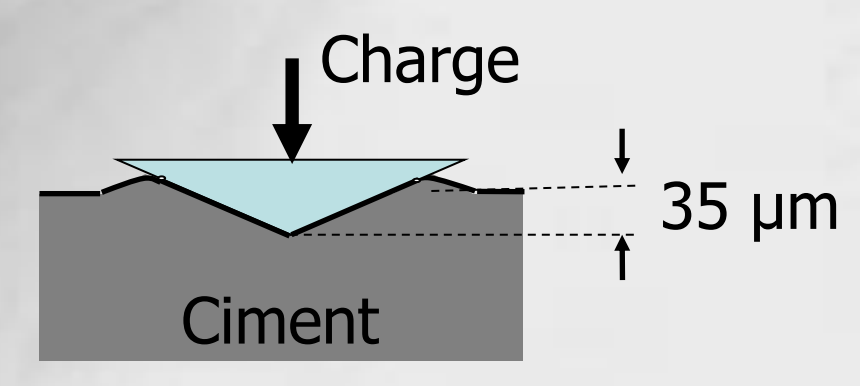
M. Vandamme Débat AFGC 5 novembre 2015 13/22

Etude comparative



Plusieurs mois voire années

Expériences de fluage par microindentation



5 minutes

Matériaux

Echantillons de ciment et béton:

- Manufacturés à 15 ans d'écart
- Mêmes matériaux bruts (clinker, fumées de silice (et superplastifiant))
- Même protocole
- Mêmes conditions de cure (scellés, 20±1°C)
- Même âge quand testés: 28 jours

Pâtes de ciment	e/c	s/c
P38-0	0.38	0.0
P28-1	0.28	0.1
P38-1	0.38	0.1
P50-0	0.50	0.0
P33-1	0.33	0.1

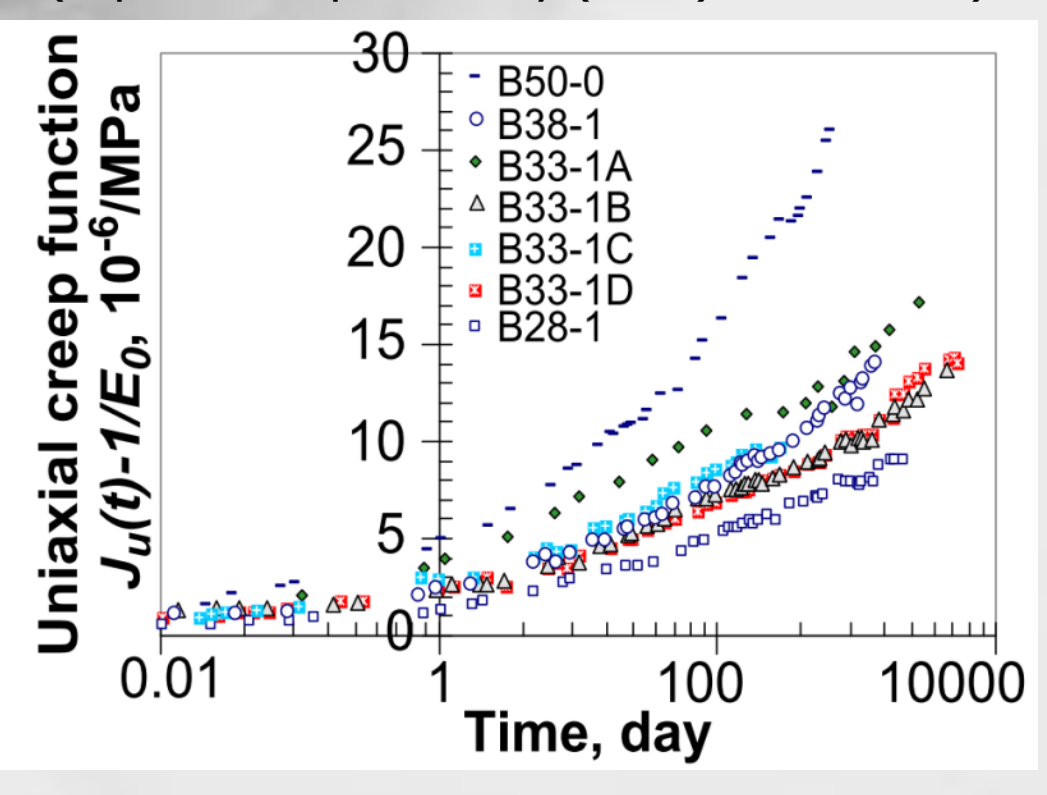
Bétons	Rapport eau sur ciment e/c	Rapport fumée de silice sur ciment s/c	Fraction volumique d' aggrégats $f_{agg}(\%)$
B28-1	0.28	0.1	71.0
B38-1	0.38	0.1	71.3
B50-0	0.50	0.0	70.5
B33-1A	0.33	0.1	67.3
B33-1B	0.33	0.1	69.5
B33-1C	0.33	0.1	71.5
B33-1D	0.33	0.1	73.1

Test uniaxial de fluage sur béton

 Dimensions des échantillons cylindriques de béton scellés: Ø 20cm x 100cm

 Chargés à 30% de leur résistance à 28 jours

 Fournit le fluage propre uniaxial (corrigé pour le retrait endogène mesuré en parallèle) Résultats sur béton (expériences par Le Roy (1996) à l'IFSTTAR)



Tests de fluage sur pâtes par microind.

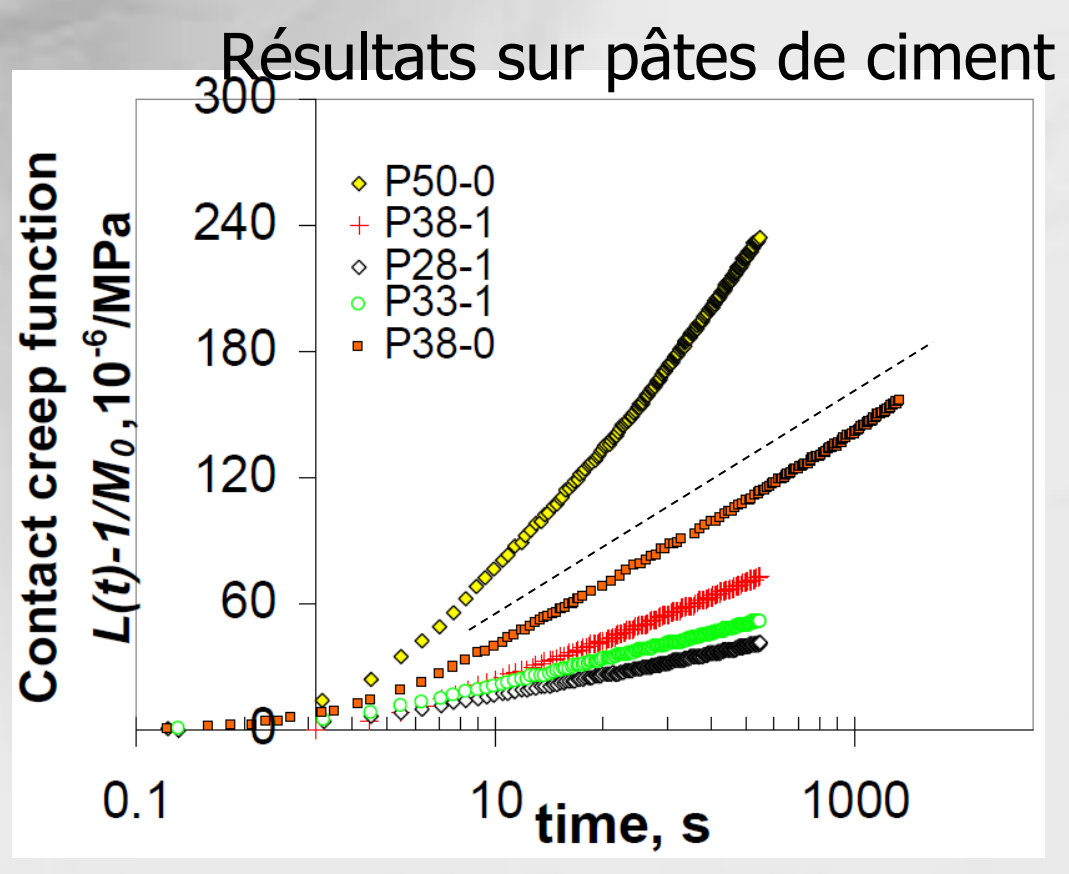
• Echantillons tronçonnés des cylindres de pâte de ciment

 Indentation Vickers à 20 N (profondeur d'indentation ~ 35µm) avec une phase de fluage de 5 minutes (sauf pour 1 delegatilles)

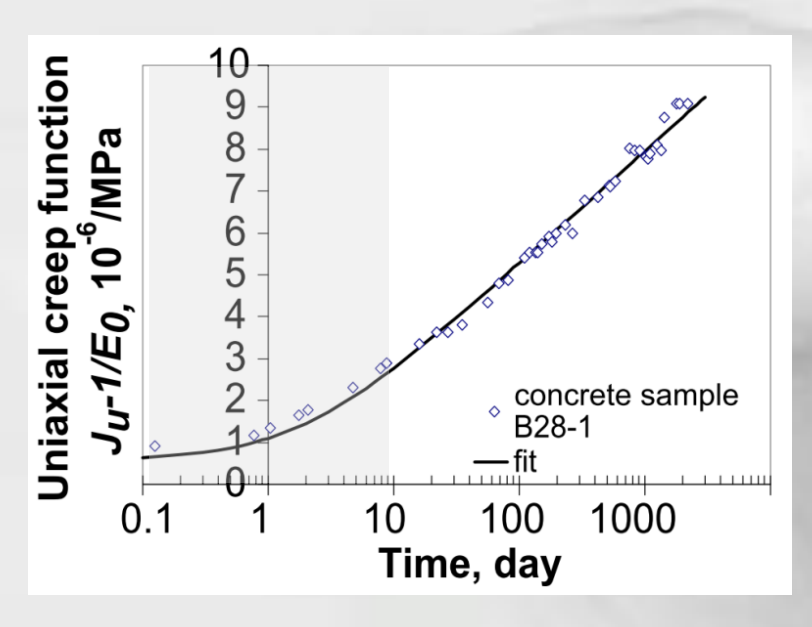
1 échantillon)

 Contrôle de température (23°C±0.2°C) et humidité (91%±2%)

→ Echanges hydriques évités durant le test



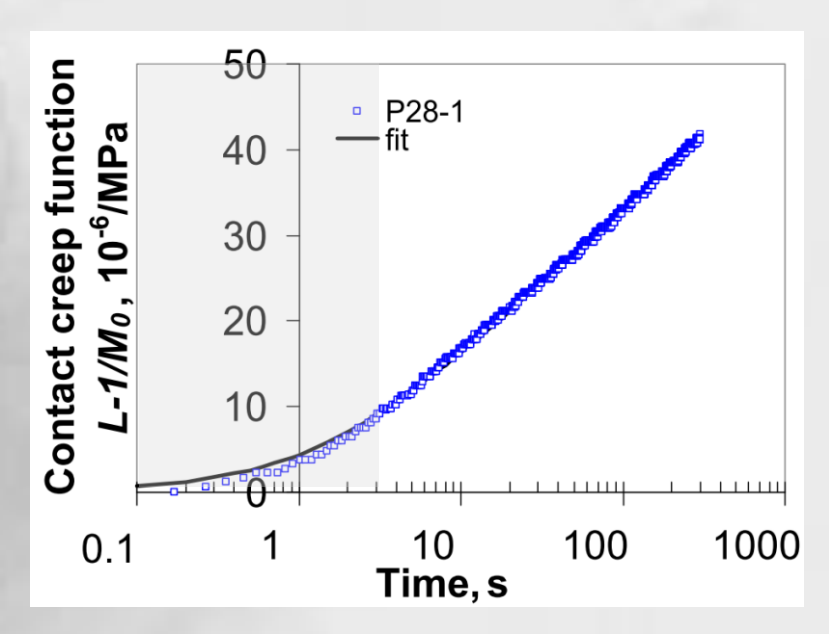
Caractérisation du comp. long-terme



 Fonction de fluage uniaxiale sur béton

$$J_{u}(t) - \frac{1}{E_{0}} = \frac{\ln(t/\tau_{u,con} + 1)}{C_{u,con}}$$

Module de fluage de contactCTemps caractéristique τ



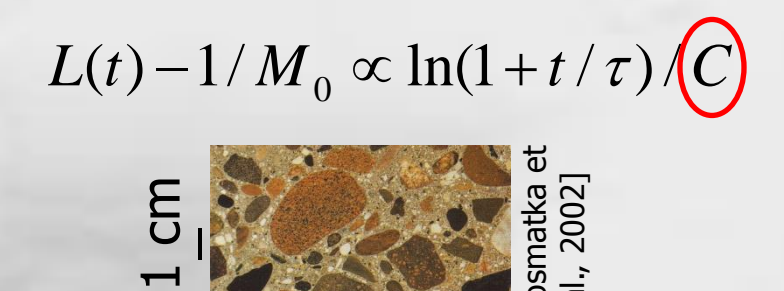
 Fonction de fluage de contact sur pâte de ciment:

$$L(t) - \frac{1}{M_0} = \frac{\ln(t/\tau_{i,cem} + 1)}{C_{i,cem}}$$

Taux de fluage
$$\approx \frac{1}{t >> \tau} \frac{1}{Ct}$$

Upscaling du module de fluage

Module de fluage de contact C_{i,cem} de pâte de ciment mesuré par indentation

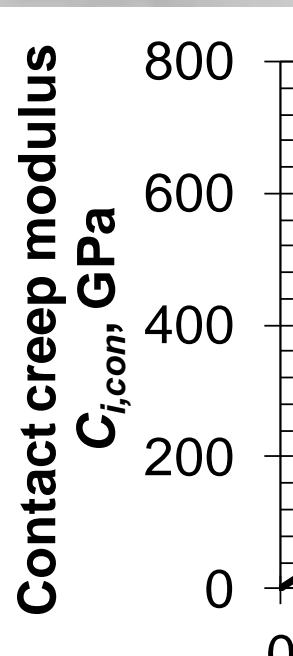


Upscaling analytique:

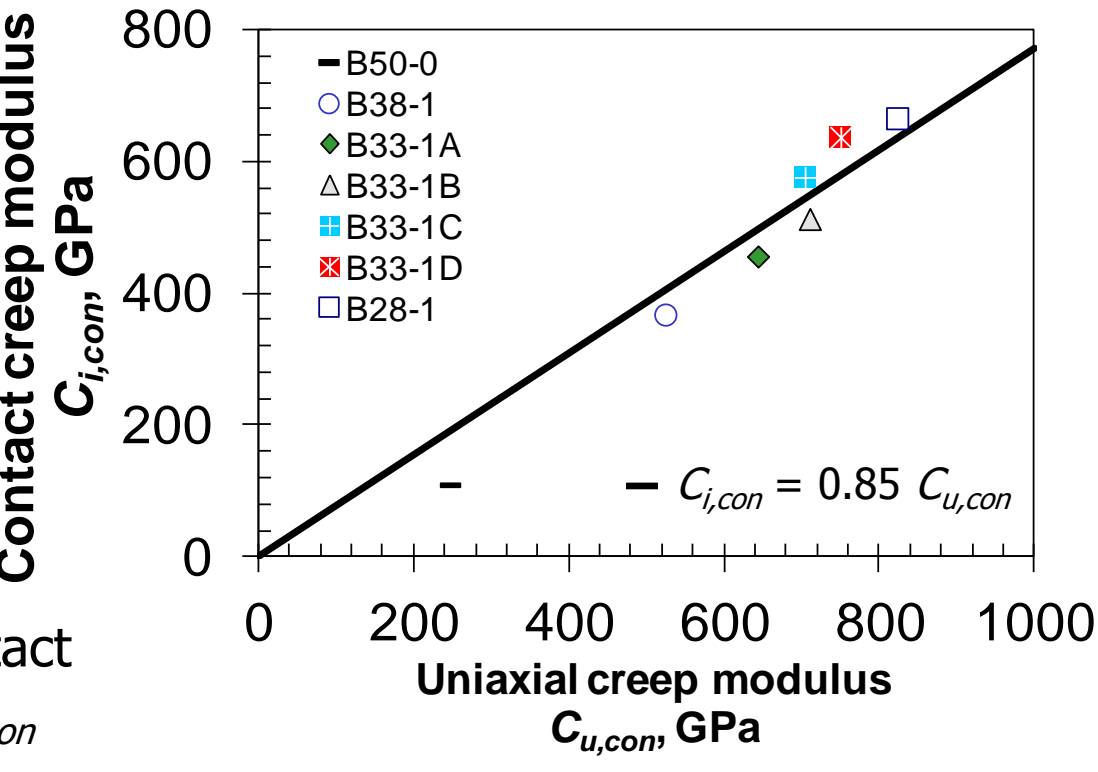
- Schéma de Mori-Tanaka

-v = 0.18 constant

- Aggrégats non fluants



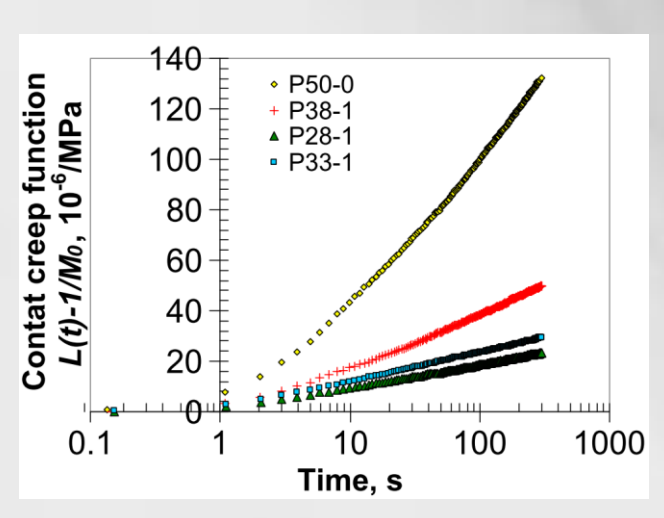
Module de fluage de contact prédit pour le béton Ci,con

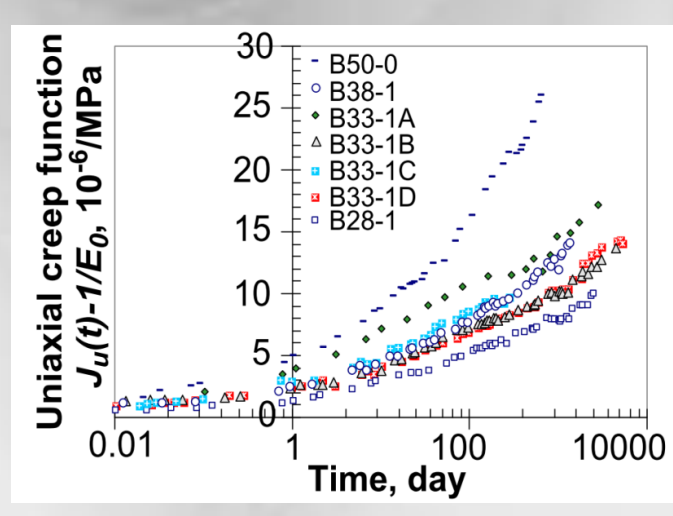


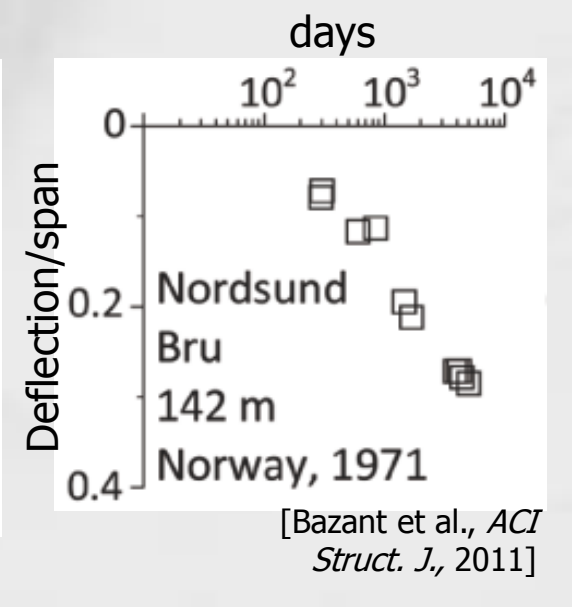
Upscaling du temps caractéristique?

• La durée caractéristique pour atteindre une cinétique de fluage logarithmique dépend du système considéré.

$$L(t)-1/M_0 \propto \ln(1+t/\tau)/C$$







Microindentation $\tau \sim 1s$

Compression d'un échantillon de béton $\tau \sim 1$ semaine

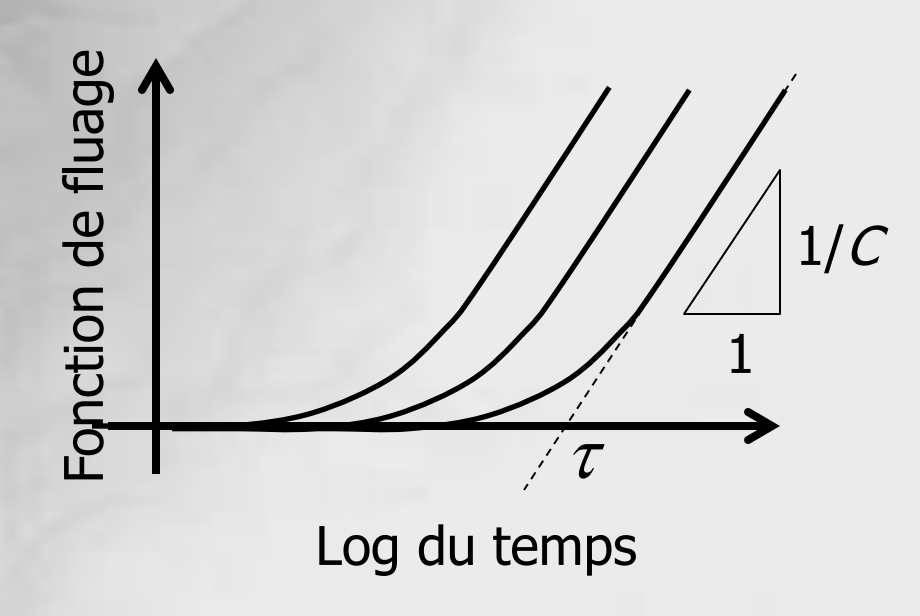
Déflection de pont $\tau \sim 1$ an

Intérêt 2

Caractériser rapidement la cinétique de fluage long-terme:

- Pour un screening rapide
- En parallèle de tests de fluage macroscopiques plus courts

 Des microindentations de quelques minutes sur pâte permettent d'estimer la cinétique long-terme de fluage logarithmique du béton



- Limitation:
 - Pas d'information directe sur la cinétique court-terme

Conclusions

• Intérêt 1: Fournir des données d'entrée pour les modèles multiéchelles

La nanoindentation permet de mesurer « invivo » les propriétés mécaniques des phases constituant les matériaux cimentaires

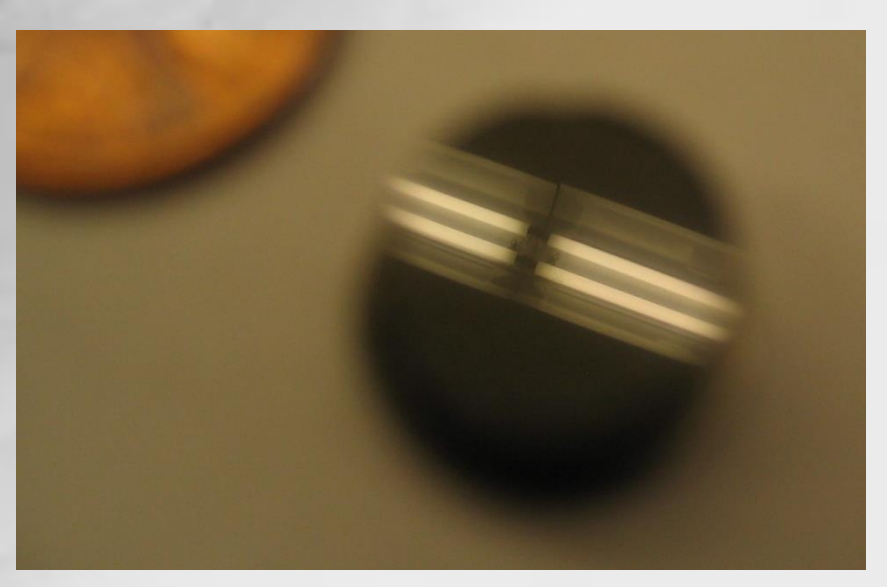
• Intérêt 2: Caractériser rapidement la cinétique de fluage long-terme

Des microindentations de quelques minutes sur pâte permettent d'estimer la cinétique long-terme de fluage logarithmique du béton

Préparation de la surface

 La nanoindentation est « pousse-bouton », mais la préparation de la surface (i.e., le polissage) peut être délicat.

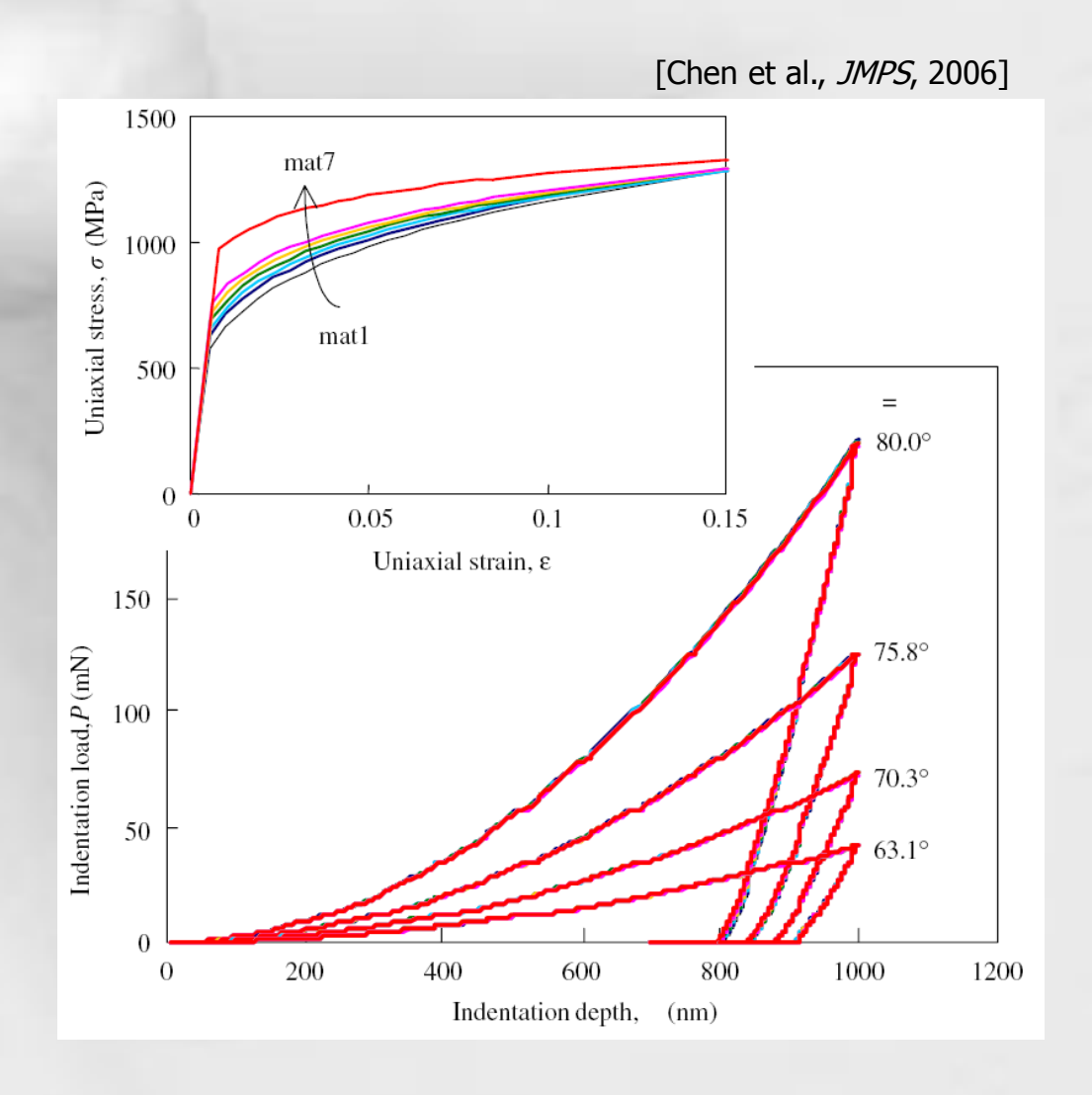




 Ce n'est pas un problème pour les tests de microindentation

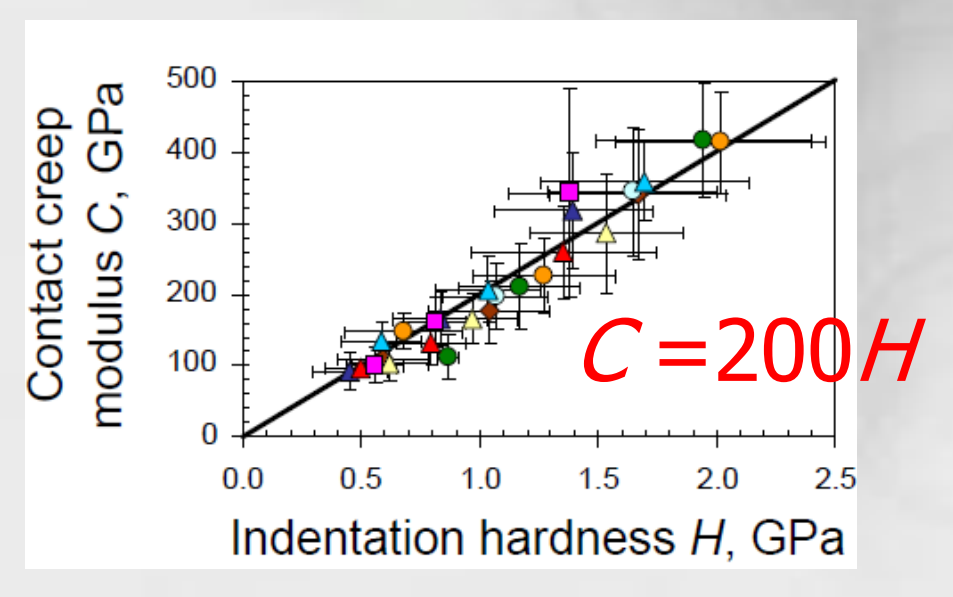
Some difficulties: data interpretation

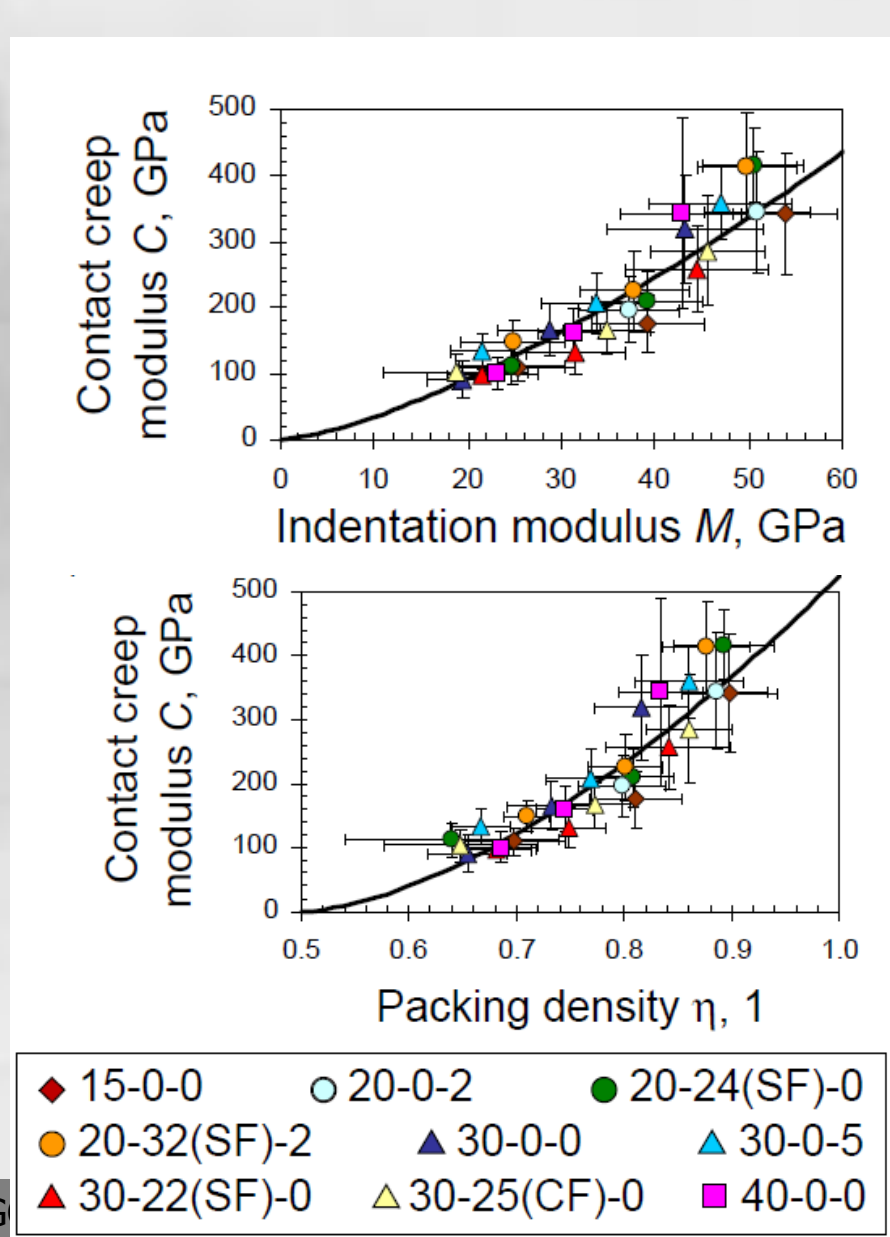
- Materials with distinct uniaxial stress-strain curves can yield the same indentation curves...
- ... even for conical probes with various half-angles!



Scaling of contact creep modulus

- Scaling between creep modulus C and (M, H, η) is independent of:
 - Water-cement ratio
 - Admixtures (silica fumes SF, calcareous filler CF)
 - Heat treatment (HT)

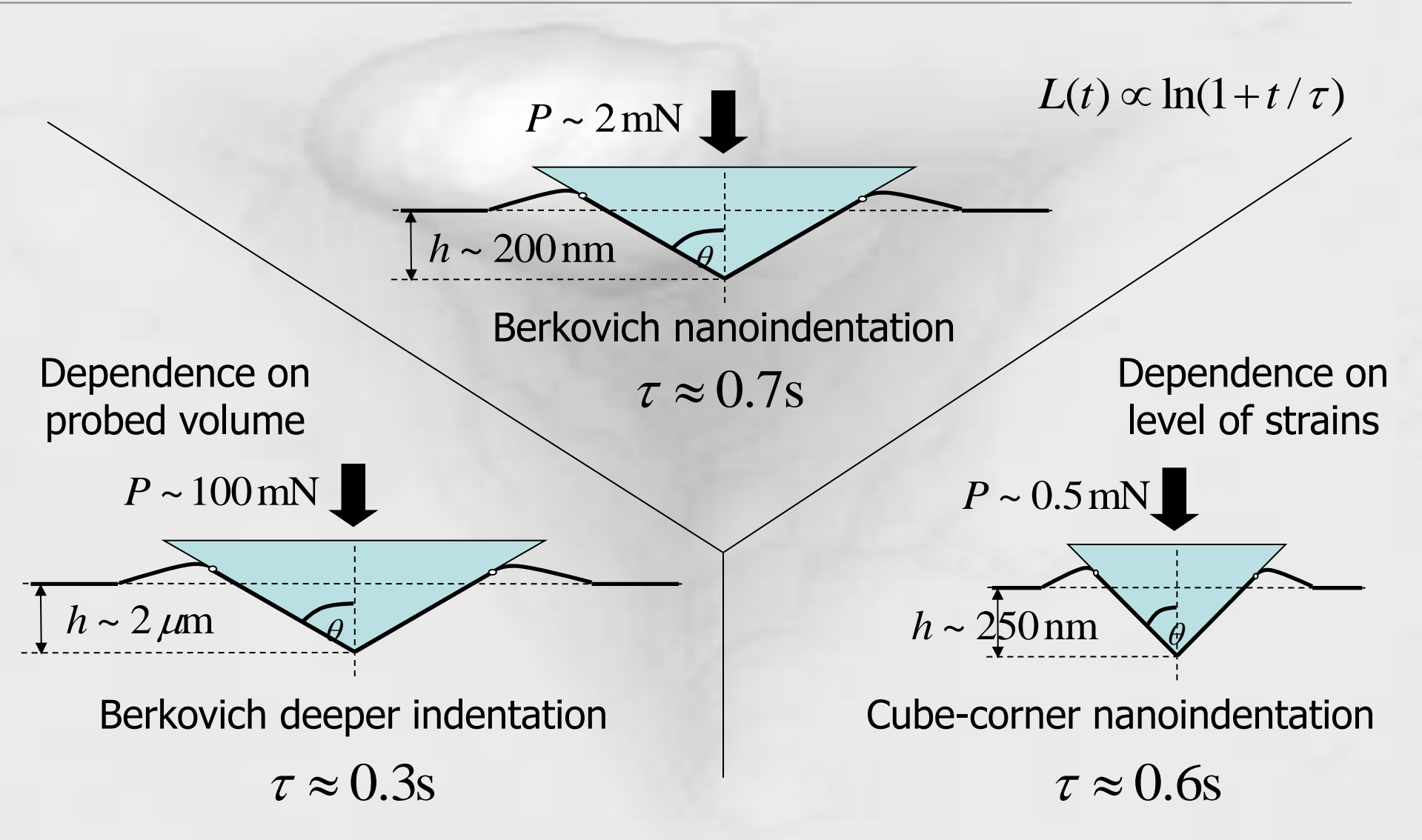




M. Vandamme

Débat AFG

Characteristic time scale



But the dependence on the level of stress was not probed

M. Vandamme Débat AFGC 5 novembre 2015 26/22